

## 1-2.8 アーチ橋の耐震性について

東北大学工学部 正員 桶浦大三  
 同上 正員 倉西茂  
 東北大学大学院 学生員 野地幹雄

長径向アーチ橋に地震が作用した場合たわみは無視できず、これを震度法を用いて設計することは妥当ではない。この場合にはアーチを可とう性構造物と見てアーチの耐震性を振動論で取扱うことが必要である。

本研究はアーチ橋の耐震的な設計をする際に必要な事項(固有振動数、振動モード、ダンピング等)を取扱い、合わせてテーパーの動的効果を実験的に考察したものである。

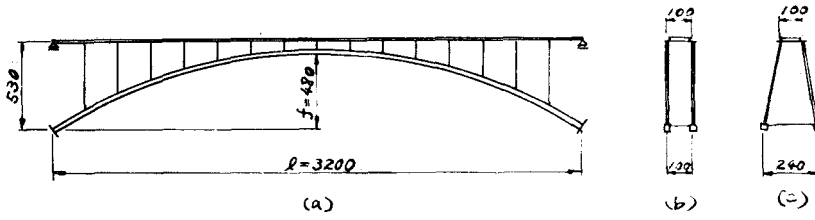


図-1 実験用模型

### 模型

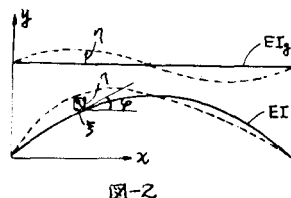
横断面が図-1(b), (c)のような二種類の模型を真鍮で作成した。主桁の支点はアッキメントを用いることによりビンシ、無ビンシのいずれにもなり、補剛桁の支点は面内変形にさればビン及ビローラー、面外変形に対するビンとなるようにした。この模型を振動台上に設置し、橋軸方向及橋軸直角方向の振動を受えた。

### 固有振動数及モード

エネルギー法により求めた。図-2のような放物線アーチが面内に振動する際、アーチリブはX方向、Y方向に夫々 $\dot{x}$ ,  $\dot{y}$ 、補剛桁はY方向に $\dot{\gamma}$ だけ変位するものとする。この場合のエネルギーは次式で表わされる。

$$T-V = \frac{1}{2g} \int_0^L (x + \dot{y}) dx - \frac{1}{2} \int_0^L EI \left\{ 1 - \frac{1}{2} (\dot{y})^2 \right\} (\dot{x})^2 dx - \frac{1}{2} \int_0^L EI_y (\dot{\gamma})^2 dx - \frac{1}{2} \int_0^L \Delta H \sec^3 \theta dA$$

$$+ \frac{1}{2} \int_0^L H \sec^3 \theta (\dot{\gamma})^2 dx$$



ここでHは水平反力、 $\Delta H$ は振動によって増加した水平反力、Wは死荷重、又dashはxについてdotは時間tについての偏微分を表わす。従来はアーチリブのX方向の変位は無視されていたが、上式の場合はこれを無視することはできず、又 $\gamma$ の値が大きくなるとX方向の変位が振動数に及ぼす影響は大きくなる。

捕獲される流体量とが平均的にバランスしていふと考える。図-1に示した非対称流れのモデルは、Bourque, Dodds, Sawyerなどの一連の実験に用ひられたものの修正し、比較的拡大比( $\beta_s$ )の小さい開水路急拡部の流れに適用したものである。

解析にあたりつぎのよう仮定を行なう。

- (1). 急拡部における弯曲した噴流においても、流速分布や運行特性などについては、2次元理想噴流の性質が保持される。
- (2). 剥離領域内の水深は一定である。
- (3). 圧力差と遠心力とのバランスは平均的に取り扱い得る。

いま(1)の仮定から流速分布を(1)式で与え、混合領域の中を(2)式で与えよ。

$$\frac{u_m - u}{u_m} = f(\eta) = (1 - \eta^{\frac{2}{\theta}})^2 \quad (1)$$

ここで、 $u_m$ : 中心線上の流速,  $\eta: (R-y)/R$ .

$\theta$ : 混合領域の中。

$y$ : 噴流中心線に垂直な中方向の座標。

$$\theta = \frac{s}{r} \quad (2)$$

ここに、 $s$  は噴流中心線に沿っての流れ方向の座標,  $r$  はいわゆる turbulent constant の逆数( $r$ ); Sawyer が  $x'$  の用いた spread parameter に対応する常数とする。つぎに単位深さ当たりの運動量と  $M$  とし、流量を  $Q$  とするとき、(1), (2)式から(3)(4)式が得られる。

$$M = 2 \int_0^R \rho u^2 dy = 2C_1 \rho u_m^2 \frac{s}{\sigma} \quad (3)$$

$$Q = 2 \int_0^R u dy = 2C_2 u_m \frac{s}{\sigma} \quad (4)$$

ただし  $C_1 = \int_0^1 \{1 - (1 - \eta^{\frac{2}{\theta}})^2\} d\eta = \text{const.}$

$$C_2 = \int_0^1 \{1 - (1 - \eta^{\frac{2}{\theta}})^2\} d\eta = \text{const.}$$

したがって、(3)(4)式から  $u_m = \sqrt{\frac{1}{2C_1} \frac{Mr}{\rho s}}$   $(5)$

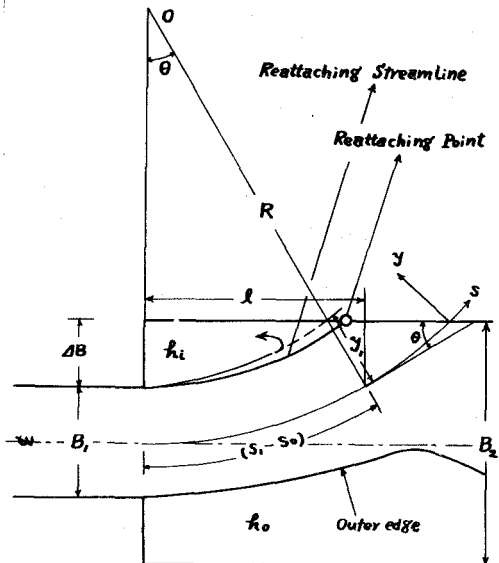
$$Q = \sqrt{\frac{2C_2^2}{C_1} \frac{Ms}{\rho s}} \quad (6)$$

さらには(2), (3)の仮定から、噴流に作用する圧力差と噴流の弯曲による遠心力との釣合の関係は近似的に

$$\Delta P = \rho g (h_o - h_i) = \frac{M}{R} \quad (7)$$

#### 4. Reattaching と剥離領域の形状

流量および運動量の配分を考えるために必要な Reattaching point の近傍の状態を代表する S 座標(図-1,  $S=S$ , 断面)について、どこを選ぶかという問題が生じる。この S, 断面では流速分布は Established flow のものであり、しかも流速分布や流向に対する Reattaching の影響がないという条件を満足していかなければならない。これに関しては Sawyer と同様に考へて、便宜的に  $u/u_m = 0.1$  となるような流線(図-1 破線)が下流側水路側壁と交叉する断面とする。



Flow model assumed in analysis

Fig-1